

# About a parallel implementation of the polynomial interpolation method

木村欣司

KINJI KIMURA

京都大学大学院情報学研究科

GRADUATE SCHOOL OF INFORMATICS, KYOTO UNIVERSITY \*

## 1 有限体上の Newton 補間および多項式の評価における法 $p$ の定め方

$\text{mod}$  の回数を減らすために, 以下の性質を使う,

$$a \oplus b \equiv a + b \pmod{p}, \quad a_1 \oplus a_2 \oplus \cdots \oplus a_N = \left( \sum_{i=1}^N a_i \right) \pmod{p},$$

さらに, 内積を次のように計算する

$$a \otimes b \equiv a + b \pmod{p}, \quad a \otimes b \equiv a \times b \pmod{p}, \\ (a_1 \otimes b_1) \oplus (a_2 \otimes b_2) \oplus \cdots \oplus (a_N \otimes b_N) = \left( \sum_{i=1}^N a_i \times b_i \right) \pmod{p},$$

ここで,

$$N(p-1)^2 \leq 2^{64} - 1, \quad a_i, b_i < p$$

ならば, 64bit の符号なし整数に,  $\left( \sum_{i=1}^N a_i \times b_i \right)$  を格納しておき, 最後に  $\text{mod } p$  の演算を行えばよい. その立場で, Newton 補間法を見直してみることにする.

1 次元の Newton 補間法の実装については, 数値計算の教科書では差分商による実装が推奨されている. しかし, 数式処理では, 以下の方法を採用する [1, p.76]. 関数  $\phi(t)$  を多項式  $\theta_K(t)$  で補間することを考える.

$$\theta_K(t) = \hat{\tau}_0 + \hat{\tau}_1(t-t_0) + \hat{\tau}_2(t-t_0)(t-t_1) + \cdots + \hat{\tau}_K(t-t_0)\cdots(t-t_{K-1})$$

今, 係数  $\hat{\tau}_0, \dots, \hat{\tau}_{j-1}$  が既知とする. このとき  $t_j$  での関数の値  $\phi(t_j)$  を用いて以下の式より  $\hat{\tau}_j$  の値が計算できる.

$$\hat{\tau}_j = (\phi(t_j) - \theta_{j-1}(t_j)) / ((t_j - t_0) \cdots (t_j - t_{j-1}))$$

同じ評価点での補間が複数回行われると仮定すると, あらかじめ  $(t_j - t_0), (t_j - t_0)(t_j - t_1), \dots (j = 1, \dots, K)$  などの値を保持しておけば,  $\theta_{j-1}(t_j)$  の評価は,  $\mathbb{Z}/p\mathbb{Z}$  上のベクトルの内積と同じ操作になり, 剰余算を削減できる.

もちろん, 多項式評価においても, 同様の議論が成り立つ.

---

\*kkimur@amp.i.kyoto-u.ac.jp

## 2 新しい行列式の計算結果の次数の上界公式

### 2.1 fraction-free Gauss 消去法

多項式で構成される  $n \times n$  の行列  $C$  が与えられたとき,  $\tau_{0,0}^{(-1)} = 1, \tau_{i,j}^{(0)} = C_{i,j}$  として, 以下の漸化式に従って計算を行う,

$$\tau_{i,j}^{(k)} = (\tau_{k,k}^{(k-1)} \tau_{i,j}^{(k-1)} - \tau_{k,j}^{(k-1)} \tau_{i,k}^{(k-1)}) / \tau_{k-1,k-1}^{(k-2)}$$

$$k+1 \leq i \leq n, k+1 \leq j \leq n, k = 1, \dots, n-1.$$

行列式は,  $\tau_{n,n}^{(n-1)}$  に現れる, 0 による除算を避けるために, ピボット選択を適宜行ってよい. Jacobi の恒等式が理論の背景となっている.

### 2.2 新しい上界公式

$$\tau_{i,j}^{(k)} = (\tau_{k,k}^{(k-1)} \tau_{i,j}^{(k-1)} - \tau_{k,j}^{(k-1)} \tau_{i,k}^{(k-1)}) / \tau_{k-1,k-1}^{(k-2)}$$

$$k+1 \leq i \leq n, k+1 \leq j \leq n, k = 1, \dots, n-1,$$

を, 次数の議論のみをするように変形することで, 次数の上界公式が得られる.

$$d_{0,0}^{(-1)} = 0, d_{i,j}^{(0)} = \deg_x(\tau_{i,j})$$

$$d_{i,j}^{(k)} = \max(d_{k,k}^{(k-1)} + d_{i,j}^{(k-1)}, d_{k,j}^{(k-1)} + d_{i,k}^{(k-1)}) - d_{k-1,k-1}^{(k-2)}$$

$$k+1 \leq i \leq n, k+1 \leq j \leq n, k = 1, \dots, n-1$$

pivot 選択も可能である. 理解は容易であるが, 決して, 自明なことではない. 証明は, ここでは省略する.

$A$  の次数の上界を考える,

$$A = \begin{vmatrix} x+y+z & xy \\ 2 & xyz \end{vmatrix}.$$

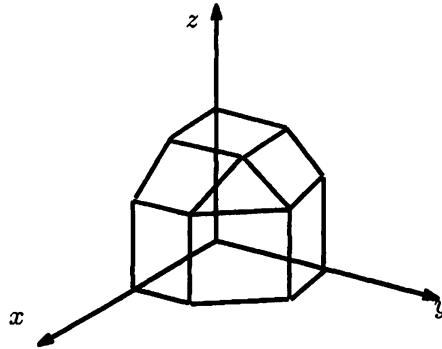
変数とパラメータの解釈により, 以下の表が得られる.

変数	パラメータ	(partial) total degree
$x$	$y, z$	2
$y$	$x, z$	2
$z$	$x, y$	2
$x, y$	$z$	3
$y, z$	$x$	3
$z, x$	$y$	3
$x, y, z$		4

ここでは,  $\text{weight}([x, y, z]) = [1, 1, 1]$  で考えている.

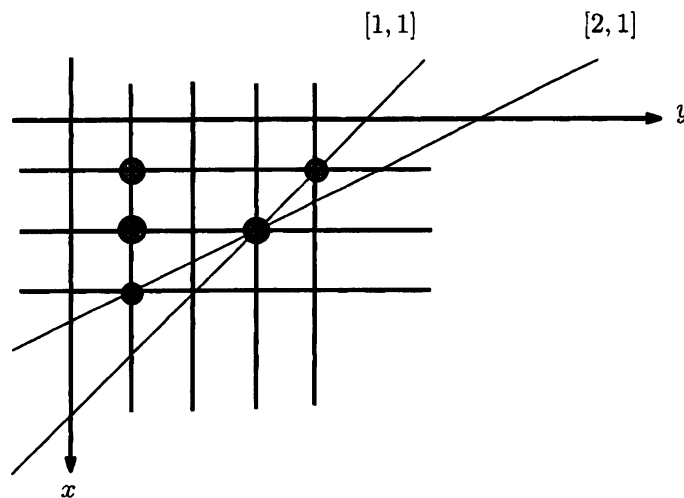
### 3 カット面付き多変数 Newton 補間

下の図は, weight が 1 種類の場合である. 複数の weight でカットを入れる場合もあるが, ここでは, 1 種類の場合のみとする. 具体的には,  $\text{weight}([x, y, z])=[1, 1, 1]$  を用いている. 下の凸包の内点格子の数分の評価点で, 終結式や行列式の値をサンプリングし, 補間する. 補間の詳細については, [2] を参照されたい.



### 4 weight による計算量の削減

●で解の項の位置を表す. 2 種類の weight を用いて, cut 面を生成することを考える.  $\text{weight}([x, y])=[1, 1], \text{weight}([x, y])=[2, 1]$  とする.



上記の図より, 2つの weight を利用することで, より少ない評価点から解を補間できることがわかる. たくさんの weight を使えば, 原理的にはよりタイトな上界になる. しかし, 凸包の内点格子を生成する部分で, 多くの時間を費やすことになる.

### 5 ベンチマーク問題

$$\begin{aligned} E6(a) &= a^{27} \\ &+ 12 \cdot p_2 \cdot a^{25} \\ &+ 60 \cdot p_2^2 \cdot a^{23} \\ &- 48 \cdot p_1 \cdot a^{22} \end{aligned}$$

$$\begin{aligned}
&+(168*p2^3+96*q2)*a^21 \\
&-336*p2*p1*a^20+(294*p2^4+528*q2*p2+480*p0)*a^19 \\
&+(-1008*p2^2*p1-1344*q1)*a^18 \\
&+(144*p1^2+336*p2^5+1152*q2*p2^2+2304*p0*p2)*a^17 \\
&+((-1680*p2^3-768*q2)*p1-5568*q1*p2)*a^16 \\
&+(608*p2*p1^2+252*p2^6+1200*q2*p2^3+4768*p0*p2^2+17280*q0-1248*q2^2)*a^15 \\
&+((-1680*p2^4-2688*q2*p2+2304*p0)*p1-8832*q1*p2^2)*a^14 \\
&+(976*p2^2*p1^2+3264*q1*p1+120*p2^7+480*q2*p2^4+5696*p0*p2^3+ \\
&43776*q0-4800*q2^2)*p2+12288*q2*p0)*a^13 \\
&+(832*p1^3+(-1008*p2^5-3072*q2*p2^2+5888*p0*p2)*p1-6528*q1*p2^3+ \\
&10752*q2*q1)*a^12 \\
&+((704*p2^3+4224*q2)*p1^2+2688*q1*p2*p1+33*p2^8-144*q2*p2^5+4384*p0*p2^4 \\
&+41472*q0-6720*q2^2)*p2^2+34560*q2*p0*p2-34560*p0^2)*a^11 \\
&+(2560*p2*p1^3+(-336*p2^6-768*q2*p2^3+3584*p0*p2^2+64512*q0+8448*q2^2)*p1 \\
&-2112*q1*p2^4+23040*q2*q1*p2-70656*p0*q1)*a^10 \\
&+((176*p2^4+8960*q2*p2-18944*p0)*p1^2-5504*q1*p2^2*p1+4*p2^9-192*q2*p2^6 \\
&+2176*p0*p2^5+(22528*q0-3840*q2^2)*p2^3+32768*q2*p0*p2^2-39936*p0^2*p2 \\
&+110592*q2*q0-40704*q1^2+5120*q2^3)*a^9 \\
&+(2688*p2^2*p1^3+4608*q1*p1^2+(-48*p2^7+768*q2*p2^4-1536*p0*p2^3 \\
&+82944*q0+16128*q2^2)*p2-73728*q2*p0)*p1-192*q1*p2^5+13824*q2*q1*p2^2 \\
&-64512*p0*q1*p2)*a^8 \\
&+(-2560*p1^4+(-32*p2^5+5376*q2*p2^2-16384*p0*p2)*p1^2+(-6144*q1*p2^3 \\
&-15360*q2*q1)*p1-48*q2*p2^7+608*p0*p2^6+(9600*q0-480*q2^2)*p2^4 \\
&+10752*q2*p0*p2^3-20992*p0^2*p2^2+(156672*q2*q0-38400*q1^2+9984*q2^3)*p2 \\
&-165888*p0*q0-56832*q2^2*p0)*a^7 \\
&+((1024*p2^3-10240*q2)*p1^3+10240*q1*p2*p1^2+(384*q2*p2^5-1792*p0*p2^4 \\
&+21504*q0+6912*q2^2)*p2^2-57344*q2*p0*p2+49152*p0^2)*p1+1536*q2*q1*p2^3 \\
&-19456*p0*q1*p2^2-110592*q1*q0-21504*q2^2*q1)*a^6 \\
&+(-1536*p2*p1^4+(-16*p2^6+768*q2*p2^3-4608*p0*p2^2+27648*q0-19200*q2^2)*p1^2 \\
&+(-1344*q1*p2^4+10752*q2*q1*p2-9216*p0*q1)*p1+64*p0*p2^7 \\
&+(2304*q0+192*q2^2)*p2^5-3072*p0^2*p2^3+(55296*q2*q0-12288*q1^2 \\
&+4608*q2^3)*p2^2+(-110592*p0*q0-46080*q2^2*p0)*p2+73728*q2*p0^2)*a^5 \\
&+((64*p2^4-4096*q2*p2+8192*p0)*p1^3-512*q1*p2^2*p1^2+(-256*p0*p2^5+ \\
&3072*q0-768*q2^2)*p2^3-8192*q2*p0*p2^2+16384*p0^2*p2+73728*q2*q0 \\
&-39936*q1^2-18432*q2^3)*p1-1024*p0*q1*p2^3+(-36864*q1*q0-3072*q2^2*q1)*p2 \\
&+24576*q2*p0*q1)*a^4 \\
&+(256*p2^2*p1^4+15360*q1*p1^3+(128*q2*p2^4-1024*p0*p2^3+(-6144*q0 \\
&-2560*q2^2)*p2+8192*q2*p0)*p1^2+(-128*q1*p2^5+2048*q2*q1*p2^2 \\
&-14336*p0*q1*p2)*p1+256*q0*p2^6-256*q2*p0*p2^5+256*p0^2*p2^4+(9216*q2*q0 \\
&-2560*q1^2-256*q2^3)*p2^3+(-18432*p0*q0-7680*q2^2*p0)*p2^2 \\
&+24576*q2*p0^2*p2-110592*q0^2+55296*q2^2*q0-30720*q2*q1^2-16384*p0^3 \\
&-6912*q2^4)*a^3 \\
&+(-1024*p1^5+4096*p0*p2*p1^3+24576*q2*q1*p1^2-12288*q1^2*p2*p1)*a^2
\end{aligned}$$

$$\begin{aligned}
&+(-2048*q_2*p_1^4+2048*q_1*p_2*p_1^3+((-3072*q_0-256*q_2^2)*p_2^2+4096*q_2*p_0*p_2 \\
&-4096*p_0^2)*p_1^2+(512*q_2*q_1*p_2^3-1024*p_0*q_1*p_2^2-36864*q_1*q_0 \\
&+9216*q_2^2*q_1)*p_1-256*q_1^2*p_2^4-6144*q_2*q_1^2*p_2+12288*p_0*q_1^2)*a \\
&+(4096*q_0-1024*q_2^2)*p_1^3+(2048*q_2*q_1*p_2-4096*p_0*q_1)*p_1^2 \\
&-1024*q_1^2*p_2^2*p_1-4096*q_1^3
\end{aligned}$$

$E_6(a)$  の判別式を計算することを、ベンチマーク問題とする。  $E_6(a)$  は、ガロア群がワイル群  $W(E_6)$  である 27 次 6 パラメータの代数方程式である [3].

## 6 タイミングデータ

$E_6(a) = E_6(a) \bmod a^{k+1}$  として、性能評価を行う。 `sdmp` とは、直接的な多項式の操作をする計算において、世界最速の数式処理ライブラリである。乗算のみ、スレッド並列化されている。

$k$	sdmp Berkowitz	sdmp minor	Kimura (Parallel)
5	1.823s	1.291s	4.286s
6	11.335s	7.286s	16.381s
7	58.533s	41.391s	57.803s
8	-	2m32.602s	2m27.739s

-の部分及び、 $k$  がこれ以上大きくなると、`sdmp` はバグのため hang up する。 `Berkowitz` は、行列式計算における `Berkowitz` の方法を用いたタイミングデータである。 `minor` は、行列式計算における小行列式展開法を用いたタイミングデータである。上記の 2 つの方法では、終結式計算を、Bezout の表現を用いて、行列式計算に変換することで計算を行っている。

この表より、 $k$  を増加させたときに、計算量の増加率が最も小さいのは、補間法 (木村版) であることがわかる。オリジナルの  $E_6(a)$  の判別式は、逐次計算:12323m41.582s、並列計算:1985m23.865s、Speed Up 率:6.20 (“スーパーリニア”) により、計算できたことを報告する。なお、計算結果の項数は、27329463 項であった。

### 6.1 実験環境について

実験環境は、CPU: Intel Core i7 980X(6Core)、Memory: 24Gbyte、OS: Fedora 13、コンパイラ: gcc 4.4.5 を用いた。

### 6.2 利用している weight について

下記の 3 種類を使う。

	$q_0$	$q_1$	$p_0$	$q_2$	$p_1$	$p_2$
weight <sub>1</sub>	12	9	8	6	5	2
weight <sub>2</sub>	2	5	6	8	9	12
weight <sub>3</sub>	1	1	1	1	1	1

## 7 まとめ

有限体上の Newton 補間および多項式の評価を, 内積を經由して計算することにより, 高速化した. さらに, weight を利用することで, 補間法におけるサンプリング点を減少させた. それらの成果をもとに, E6(a) の判別式を, 1985m23.865s で計算できた.

## 参 考 文 献

- [1] 大石進一, 数値計算, 応用解析セミナー, 裳華房, 1999.
- [2] H. Werner, Mtinster, Remarks on Newton Type Multivariate Interpolation for Subsets of Grids, Computing 25(1980), 181-191.
- [3] T.Shioda, Construction of elliptic curves with high rank via the invariants of the Weyl groups, J.Math.Soc.Japan 43(1991), 673-719.